

УДК 539.3

© 1994 г. В. Г. БАЖЕНОВ, А. И. КИБЕЦ

ЧИСЛЕННОЕ МОДЕЛИРОВАНИЕ ТРЕХМЕРНЫХ ЗАДАЧ
НЕСТАЦИОНАРНОГО ДЕФОРМИРОВАНИЯ
УПРУГОПЛАСТИЧЕСКИХ КОНСТРУКЦИЙ
МЕТОДОМ КОНЕЧНЫХ ЭЛЕМЕНТОВ

Рассматривается численное моделирование упругопластического деформирования конструкций, состоящих из массивных и оболочечных элементов, при импульсных и ударных воздействиях. Для решения задачи в трехмерной постановке развивается метод конечных элементов (МКЭ) с билинейной аппроксимацией скорости перемещений в 8-узловых элементах и конечно-разностной явной схемой интегрирования по времени типа «крест». Реализуемые в методике дифференцированный подход к учету вклада моментных и безмоментных составляющих деформаций и напряжений в энергию элемента и регуляризация матрицы масс улучшают сходимость схемы и повышают ее экономичность в задачах рассматриваемого класса по сравнению с известными схемами [1—4]. Эффективность предлагаемой методики иллюстрируется решением тестовых задач и сопоставлением результатов с экспериментальными данными других авторов.

1. Система уравнений, определяющая движение деформируемой конструкции, формулируется в переменных Лагранжа

$$\int_{\Omega} \delta \dot{\epsilon}^T C \sigma dV + \int_{\Omega} \delta \dot{u}^T \rho \ddot{u} dV = \int_{\Gamma} \delta \dot{u}^T q d\Gamma \quad (1.1)$$

$$C = \text{diag} (1 \ 1 \ 1 \ 2 \ 2 \ 2)$$

$$\dot{\epsilon} = D_{\epsilon} \dot{u}, \quad D_{\epsilon} = \begin{vmatrix} \partial_1 & 0 & 0 & \partial_2/2 & 0 & \partial_3/2 \\ 0 & \partial_2 & 0 & \partial_1/2 & \partial_3/2 & 0 \\ 0 & 0 & \partial_3 & 0 & \partial_2/2 & \partial_1/2 \end{vmatrix}^T \quad (1.2)$$

$$\partial_i = \partial / \partial x_i, \quad x_i = \int_0^t \dot{u}_i dt + x_i|_{t=0}$$

$$\epsilon = \epsilon' + \epsilon^v, \quad \sigma = \sigma' + \sigma^v, \quad \sigma^v = \sigma^v(\rho)$$

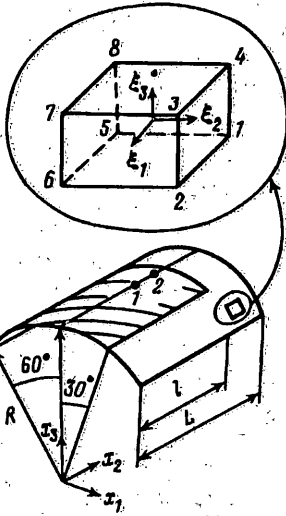
$$\epsilon' = \epsilon'^e + \epsilon'^p, \quad \epsilon_{11}'^p + \epsilon_{22}'^p + \epsilon_{33}'^p = 0, \quad \dot{\sigma} = 2G\dot{\epsilon}'^e$$

$$r = 2g\epsilon'^p, \quad s = \sigma' - r, \quad \dot{\epsilon}'^p = d\lambda s \quad (1.3)$$

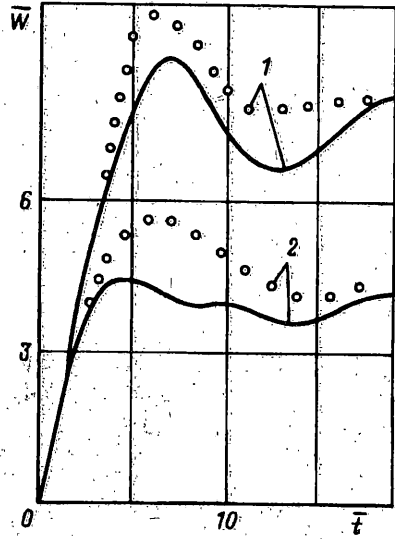
$$S^T C S = 2/3 \cdot \sigma_T^2, \quad \sigma_T = \sigma_T^0 + g_1 \kappa, \quad \sigma_T^0 = \sigma_T^0(I_{2i}), \quad I_{2i} = (2/3 \dot{\epsilon}^T C \dot{\epsilon})^{1/2}$$

$$\kappa = \int_0^t I_{2i} dt$$

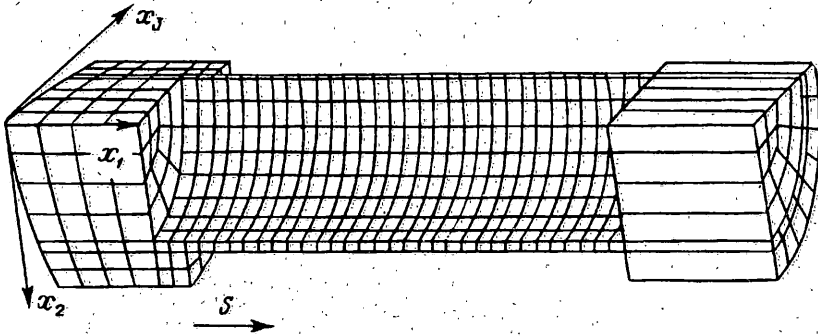
В уравнениях (1.1)—(1.3) используется матричная форма записи, буква (T) над символом означает операцию транспонирования, точка над символом — частную производную по времени; Ω — область, занятая конструкцией, Γ — граничная поверхность Ω с заданной нагрузкой $q = [q_1 q_2 q_3]^T$, $\epsilon =$



Фиг. 1



Фиг. 2



Фиг. 3

$= [\epsilon_{11}\epsilon_{22}\epsilon_{33}\epsilon_{12}\epsilon_{23}\epsilon_{31}]^T$, $\sigma = [\sigma_{11}\sigma_{22}\sigma_{33}\sigma_{12}\sigma_{23}\sigma_{31}]^T$ — матрицы-столбцы, составленные из компонент тензоров деформаций и напряжений, ρ — плотность материала, $u = [u_1u_2u_3]^T$ — вектор перемещений в локальном прямоугольном базисе $x = [x_1x_2x_3]^T$, отслеживающем с помощью компонент антисимметричного тензора $\omega = [000\omega_{12}\omega_{23}\omega_{31}]^T$

$$\dot{\omega} = \frac{1}{2} D_{\omega} \dot{u}, \quad D_{\omega} = \begin{vmatrix} 0 & 0 & 0 & \partial_2 & 0 & -\partial_3 \\ 0 & 0 & 0 & -\partial_1 & \partial_3 & 0 \\ 0 & 0 & 0 & 0 & -\partial_2 & \partial_1 \end{vmatrix} \quad (1.4)$$

поворот элементарного объема dV как жесткого целого в неподвижном базисе $X = [X_1X_2X_3]^T$; $\epsilon^v = [eee000]^T$, $\sigma^v = [ppp000]^T$, $\epsilon' = [\epsilon'_{11}\epsilon'_{22}\epsilon'_{33}\epsilon'_{12}\epsilon'_{23}\epsilon'_{31}]^T$, $\sigma' = [\sigma'_{11}\sigma'_{22}\sigma'_{33}\sigma'_{12}\sigma'_{23}\sigma'_{31}]^T$ — шаровые и девiatorные составляющие деформаций и напряжений; ϵ'^e , ϵ'^p — упругие и пластические компоненты девiatorа деформаций, $S = [S_{11}S_{22}S_{33}S_{12}S_{23}S_{31}]^T$, $\gamma = [\rho_{11}\rho_{22}\rho_{33}\rho_{12}\rho_{23}\rho_{31}]^T$ — матрицы-столбцы, составленные из компонент тензоров активных напряжений и остаточных микронапряжений; G , g , g_1 — модули сдвига, кинематического и изотропного упрочнения, σ_T — динамический предел текучести, dL — параметр, тождественно равный нулю при упругом деформировании, и определяемый при

упругопластическом деформировании из условия прохождения мгновенной поверхности текучести через конец вектора догрузки.

Для всех функций в (1.1)—(1.4) задаются начальные значения, граничные же условия для скоростей перемещений и поверхностных нагрузок учитываются в уравнении (1.1).

2. Определяющая система уравнений (1.1)—(1.4) решается методом конечных элементов [5]. Деформируемая конструкция заменяется лагранжевой сеткой из 8-узловых конечных элементов (фиг. 1). В узлах сетки определяются перемещения U , скорости \dot{U} и ускорения \ddot{U} в общей системе координат $X = [X_1 X_2 X_3]^T$, используемой для стыковки конечных элементов (КЭ). В каждом элементе вводится локальный прямоугольный базис $x = [x_1 x_2 x_3]^T$. Координаты узлов противоположных граней усредняются и вычисляются площади полученных трех четырехугольников $n_i = [n_i^1 n_i^2 n_i^3]^T$ ($i = \overline{1, 3}$). Начало системы координат x помещается в центр элемента, ось x_3 совмещается с n_3 , x_2 ортогональна ($n_3 n_1$), x_1 ортогональна ($x_2 x_3$). Дальнейшая ориентация x в пространстве корректируется с учетом вращения КЭ как жесткого целого пошаговым пересчетом направляющих косинусов ее осей. Углы поворота $\Delta\omega = \dot{\omega}\Delta t$ на текущем временном слое определяются из соотношения (1.4). Частные производные $\partial_i = \partial/\partial x_i$ ($i = \overline{1, 3}$) вычисляются в (1.4) с помощью формул дивергентного представления частных производных по пространственным переменным [1], или другим более простым способом в зависимости от требуемой точности.

Каждый конечный элемент отображается на куб

$$x_i = \sum_{j=1}^8 X_j^i N_j(\xi_1 \xi_2 \xi_3) \quad (-1 \leq \xi_i \leq 1) \quad (2.1)$$

$$N_j = (1 + \xi_1/\xi_1^j)(1 + \xi_2/\xi_2^j)(1 + \xi_3/\xi_3^j)/8$$

где x_i^j — координаты узлов в базисе x . Компоненты скорости проецируются в систему координат x и аппроксимируются внутри элемента с помощью функций форм N_j из (2.1):

$$\dot{u}_i = \sum_{j=1}^8 \dot{u}_i^j N_j(\xi_1 \xi_2 \xi_3) \quad (2.2)$$

Для аппроксимации скорости деформаций используются функции следующего вида:

$$\dot{\epsilon} = \dot{\epsilon}_0 + \alpha_1 \dot{\epsilon}_1 \xi_1 + \alpha_2 \dot{\epsilon}_2 \xi_2 + \alpha_3 \dot{\epsilon}_3 \xi_3 + \alpha_4 \dot{\epsilon}_4 \quad (2.3)$$

где $\dot{\epsilon}_0 = [\dot{\epsilon}_{11}^0 \dot{\epsilon}_{22}^0 \dot{\epsilon}_{33}^0 \dot{\epsilon}_{11}^0 \dot{\epsilon}_{22}^0 \dot{\epsilon}_{33}^0]^T$ — значения компонент скорости деформаций в центре КЭ ($\dot{\epsilon}_{ij}^0 = \text{const}$); $\dot{\epsilon}_1 = [0 \dot{\epsilon}_{22,1} \dot{\epsilon}_{33,1} 0 \dot{\epsilon}_{23,1} 0]^T$, $\dot{\epsilon}_2 = [\dot{\epsilon}_{11,2} 0 \dot{\epsilon}_{33,2} 0 0 \dot{\epsilon}_{31,2}]^T$, $\dot{\epsilon}_3 = [\dot{\epsilon}_{11,3} \dot{\epsilon}_{22,3} 0 \dot{\epsilon}_{12,3} 0 0]^T$ — градиент скорости деформаций в центре КЭ; $\dot{\epsilon}_{ij,k} = \partial \dot{\epsilon}_{ij} / \partial \xi_k = \text{const}$, $\dot{\epsilon}_4 = [\dot{\epsilon}_{11,22} \xi_1 \xi_2 \dot{\epsilon}_{22,31} \xi_3 \xi_1 \dot{\epsilon}_{33,12} \xi_1 \xi_2 0 0 0]^T$, $\dot{\epsilon}_{i,kl} = \partial^2 \dot{\epsilon}_{ij} / \partial \xi_k \partial \xi_l = \text{const}$. Весовые коэффициенты α_i ($i = \overline{1, 4}$) вводятся для регулирования влияния моментных составляющих скорости деформаций $\dot{\epsilon}_1$, $\dot{\epsilon}_2$, $\dot{\epsilon}_3$, $\dot{\epsilon}_4$ на численное решение ($0 < \alpha_i \leq 1$).

Формулы для вычисления компонент $\dot{\epsilon}_i$ записываются в следующем виде:

$$\dot{\epsilon}_i = V_i \dot{v} / |J| \quad (i = \overline{0, 4}) \quad (2.4)$$

$$v = [u_1^1 \dots u_1^s, u_2^1 \dots u_2^s, u_3^1 \dots u_3^s]^T$$

где матрицы V_i получаются с помощью соотношения (1.2) и обратной матрицы Якоби J^{-1} для преобразования (2.1) [6], $|J|$ — якобиан преобразования (2.1).

Варируя значениями весовых коэффициентов α_i в (2.3) и корректируя в

соответствии с ними аппроксимацию $\dot{\varepsilon}$, σ , можно получить широкий набор конечных элементов, учитывающих специфику напряженно-деформированного состояния, геометрии деформируемой конструкции, и повысить эффективность решения трехмерных задач динамики. Для рассматриваемого класса задач разработаны конечные элементы двух типов: КЭ для сплошной среды и КЭ оболочки.

Конечный элемент сплошной среды (тип А). В массивных телах моментные составляющие $\dot{\varepsilon}_1$, $\dot{\varepsilon}_2$, $\dot{\varepsilon}_3$, $\dot{\varepsilon}_4$ используются для подавления мод с нулевой энергией [4] и вводятся в схему с малыми коэффициентами: $\alpha_i \in [0, 1, 0, 1]$, $i = \overline{1, 4}$. Это позволяет аппроксимировать напряжения функциями вида

$$\sigma = \sigma_0 + \sigma_1 \xi_1 + \sigma_2 \xi_2 + \sigma_3 \xi_3 + \sigma_4$$

$$\sigma_0 = [\sigma_{11} \sigma_{22} \sigma_{33} \sigma_{12} \sigma_{23} \sigma_{31}]^T = \sigma |_{\xi_1=\xi_2=\xi_3=0} \quad (2.5)$$

$$\sigma_1 = [0 \sigma_{22,1} \sigma_{33,1} 0 \sigma_{23,1} 0]^T$$

$$\sigma_2 = [\sigma_{11,2} 0 \sigma_{33,2} 0 0 \sigma_{31,2}]^T$$

$$\sigma_3 = [\sigma_{11,3} \sigma_{22,3} 0 \sigma_{12,3} 0 0]^T$$

$$\sigma_4 = [\sigma_{11,23} \xi_2 \xi_3 \sigma_{22,31} \xi_3 \xi_1 \sigma_{33,12} \xi_1 \xi_2 0 0 0]^T$$

$$\sigma_{ij}^0 = \text{const}, \quad \sigma_{ij,k} = \partial \sigma_{ij} / \partial \xi_k = \text{const}, \quad \sigma_{i,k,l} = \partial^2 \sigma_{ij} / \partial \xi_k \partial \xi_l = \text{const}$$

Компоненты σ_i определяются подстановкой ε_i в уравнения состояния (1.3). В силу малости коэффициентов α_i ($i = \overline{1, 4}$) связь $\sigma_i(\varepsilon_i)$ полагается линейно упругой, а пластические свойства материала учитываются в центре КЭ при вычислении компонент σ_0 . Значения напряжений в центре элемента σ_0 можно определять в общей системе координат X, упростив при этом процедуры введения локального базиса x и вычисления моментных составляющих σ_1 , σ_2 , σ_3 , σ_4 .

Конечный элемент оболочки (тип В). В пластинах и оболочках важную роль играют изгибающие и крутящий моменты от напряжений, распределенных по толщине. Моментные же составляющие деформаций и напряжений в срединной поверхности вводятся как и в предыдущем элементе для обеспечения устойчивости счета.

При отсутствии локальных импульсных воздействий можно положить, что ось ξ_3 совпадает с x_3 и направлена по нормали к срединной поверхности. Тогда $\alpha_3 = 1$, $\alpha_1, \alpha_2, \alpha_4 \ll 1$, а напряжения σ аппроксимируются следующим образом:

$$\sigma = \sigma_1 \xi_1 + \sigma_2 \xi_2 + \sigma_3(\xi_3) + \sigma_4 \quad (2.6)$$

где $\sigma_3(\xi_3) = [\sigma_{11} \sigma_{22} \sigma_{33} \sigma_{12} \sigma_{23} \sigma_{31}]^T$ — распределение напряжений по толщине оболочки (вдоль оси ξ_3). Компоненты σ_1 , σ_2 , σ_4 определяются как в КЭ сплошной среды (тип А). Поскольку зависимость $\sigma_3(\xi_3)$ из-за пластических деформаций может быть нелинейной, каждый элемент вдоль ξ_3 разбивается на ряд подслоев. Изменение напряжений в этом направлении $\sigma_3(\xi_3)$ аппроксимируется кусочно-постоянной функцией, определяемой из уравнений состояния, исходя из линейного распределения полных деформаций $\varepsilon = \varepsilon_0 + \varepsilon_3 \xi_3$ и их скоростей $\dot{\varepsilon} = \dot{\varepsilon}_0 + \dot{\varepsilon}_3 \xi_3$ [7].

Аппроксимация скорости деформаций $\dot{\varepsilon}$ (2.3) и напряжений σ (2.6) в конечном элементе типа В является по существу численной реализацией шестимодального варианта теории оболочек типа Тимошенко [8] и позволяет решать задачу на сетке с одним слоем КЭ по толщине, что неприемлемо для схем [1—4].

В каждом конечном элементе мощность виртуальной работы в (1.1) выражается через матрицу масс m , узловые ускорения \ddot{v} , силы f и виртуальные скорости

перемещений δv [5, 6]. Матрица масс в конечном элементе для функций формы N_j из (2.1) имеет вид

$$m = \rho V \begin{vmatrix} \bar{m} & 0 & 0 \\ 0 & \bar{m} & 0 \\ 0 & 0 & \bar{m} \end{vmatrix}, \quad \bar{m} = m_1 m_2 m_3, \quad m_i = \frac{1}{4} m_i^0 + \frac{1}{12} m_i^1 \quad (2.7)$$

где V — объем элемента; формулы для матриц m_i^0 , m_i^1 ($i = \overline{1, 3}$) приведены в [9]. Вариации скоростей перемещений δv , ускорения \ddot{v} , и узловые силы f перепроецируются в общую систему координат X . Заменяя интегрирование по области Ω суммированием по элементам, получим дискретный аналог уравнения движения в виде

$$M\ddot{U} = F \quad (2.8)$$

где M — матрица масс, \ddot{U} , F — матрицы-столбцы, составленные из ускорений узлов КЭ-сетки и результирующих узловых сил в общей системе координат X .

Система обыкновенных дифференциальных уравнений (2.8) разрешается относительно узловых ускорений

$$\ddot{U} = \Phi \quad (2.9)$$

и интегрируется по конечно-разностной схеме типа «крест». Аналитическая оценка устойчивости схемы крест для уравнений динамики сплошных сред и оболочек получена в [10]. В этой работе теоретически обосновывается регуляризация матрицы масс M , позволяющая путем корректировки высокочастотных колебаний существенно увеличить шаг интегрирования по времени Δt . Регуляризация матрицы масс заключается во введении фиктивных моментов инерции умножением матриц m_i^1 на весовые коэффициенты J_i ($i = \overline{1, 3}$) [9]. В зависимости от величины J_i схема интегрирования вдоль ξ_i будет явной ($J_i = 3$) или неявной ($J_i > 3$), что позволяет оптимизировать вычислительный процесс.

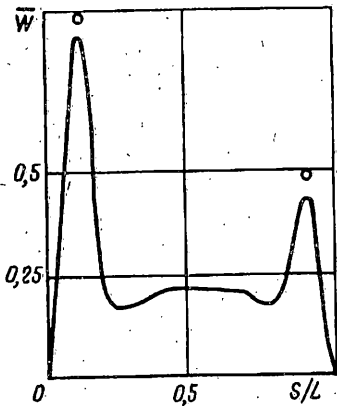
В частности, при $J_1 = J_2 = J_3 = 3$ матрица масс M становится диагональной, если мощность виртуальной работы сил инерции в (1.1) выражать через компоненты ускорений и виртуальных скоростей перемещений в общей системе координат X . В этом случае отпадает необходимость в обращении матрицы масс, а шаг интегрирования по времени определяется из условия устойчивости Куранта с коэффициентом запаса близким $k=1$ [10]. При анализе динамики тонких оболочек, когда характерные КЭ в срединной поверхности значительно превосходят толщину, целесообразно для интегрирования (2.8) в срединной поверхности использовать явную схему, а по толщине неявную [9, 10].

Как известно схема интегрирования по времени типа крест не является монотонной, и на сильных разрывах допускает значительные осцилляции, искажающие численное решение. Для подавления этих осцилляций используется консервативное сглаживание поля скоростей введением в уравнения движения корректирующих потоков импульса [11].

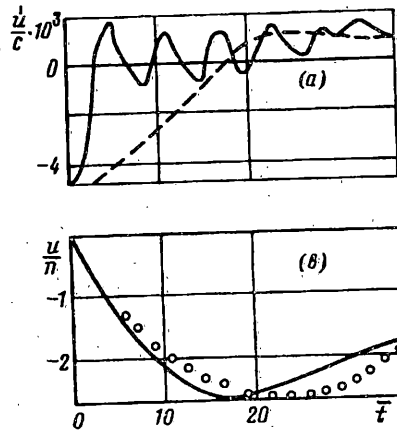
3. Разработанная методика реализована в виде библиотеки конечных элементов для программного комплекса «Динамика-3», предназначенного для решения трехмерных нестационарных задач упругопластического деформирования на ПЭВМ типа IBM PC. Решен широкий круг модельных и прикладных задач. Результаты некоторых из них приводятся ниже.

Рассмотрим упругопластический изгиб жестко заземленной по контуру цилиндрической панели (фиг. 1, где $L=0,3184$ м, $l=0,2587$ м, $R=0,0746$ м, $R/h = 23,3$). Материал оболочки имеет следующие характеристики [7]: модуль упругости $E=72,45$ ГПа, коэффициент Пуассона $\mu=0,32$, $g=g_1=0$, $\sigma_T=0,304$ ГПа, $\rho=2,85$ г/см³. На заштрихованной части области задавалась начальная скорость $\dot{u}=143,51$ м/с, направленная по нормали к поверхности.

В силу того, что панель деформируется симметрично относительно плоскости $X_1=0$, в качестве расчетной области использовалась половина оболочки



Фиг. 4



Фиг. 5

($X_1 \geq 0$). Конечно-элементная сетка расчетной области имеет следующие параметры: $N_1 = 24$, $N_2 = 12$, $N_3 = 1$, где N_1 , N_2 , N_3 — количество КЭ вдоль образующей, по повороту и толщине.

Результаты решения задачи представлены на фиг. 2 в виде зависимости от времени $\bar{t} = tc/L$ (c — скорость продольных волн в материале) прогиба $\bar{w} = w/h$ в центре панели (1) и в точке (2), смещенной относительно центра вдоль образующей на $L/4$ (фиг. 1). Сплошная линия соответствует расчету по предлагаемой схеме с использованием оболочечного элемента (тип В, $\alpha_1 = \alpha_2 = \alpha_4 = 0,05$, $\alpha_3 = 1$, по толщине оболочки КЭ разбивался на 5 подслоев), штриховая линия — экспериментальные данные [7]. Как видно из графиков на фиг. 2 в центре оболочки, где достигается максимальный прогиб, расхождение расчетных и экспериментальных данных не превышает 15%. Время решения задачи на РС АТ/386 — 2 часа 30 минут.

В трехмерной постановке рассмотрена задача о продольном соударении с жесткой преградой тела вращения (фиг. 3), включающего массивный оголовок, цилиндрическую оболочку ($R = 0,0428$ м, $L = 0,155$ м, $R/h = 15,3$) и присоединенную массу на неударяемом торце. Образец выполнен из алюминиевого сплава АМгб с характеристиками: $E = 71,5$ ГПа, $\mu = 0,3$, $\rho = 2,7$ г/см³. Характерные размеры оголовка и присоединенной массы, а также параметры, определяющие пластические свойства материала приведены в [12]. Отношение присоединенной массы к массе оболочки равно 9, отношение массы оголовка к массе оболочки — 4. Начальная скорость ударника направлена вдоль оси симметрии X_1 и равна $-29,2$ м/с.

В качестве расчетной области рассматривалась 1/4 часть конструкции ($X_2 \geq 0$, $X_3 \geq 0$). Для решения задачи оболочка покрывалась одним слоем из 240 КЭ типа В ($\alpha_1 = \alpha_2 = \alpha_4 = 0,05$), а оголовок и присоединенная масса покрывались сетками из 168 и 20 конечных элементов типа А соответственно. Для учета пластических деформаций КЭ оболочки разбивались из 5 подслоев по толщине.

Результаты решения задачи представлены на фиг. 4, 5. На фиг. 4 приведено распределение остаточного прогиба $\bar{w} = w/h$ оболочки вдоль образующей (сплошная линия — расчет, точки — данные эксперимента [12]). На фиг. 5, а сплошной и штриховой линиями изображено изменение во времени $\bar{t} = tc/L$ скорости продольного перемещения $\bar{u} = \dot{u}/c$ оболочки на ударяемом и тыльном торцах

(значение скорости отскока образца, полученное в эксперименте, равняется $0,92 \times 10^{-3}$). На фиг. 5, в представлена зависимость от времени продольного перемещения тыльного торца оболочки (сплошной и пунктирной линиями помечены расчетные и экспериментальные данные).

Анализ результатов расчетов выявил основные закономерности продольного соударения с жесткой преградой цилиндрической оболочки с присоединенными массами, превышающими массу оболочки.

Гашение скорости массы, прикрепленной к задней части оболочки, происходит монотонно (фиг. 5, а), а скорость ударяемого торца оболочки в процессе контактного взаимодействия с преградой несколько раз меняет знак с периодом равным примерно двойному пробегу волны сжатия по оболочке. В соответствии с этим происходит многократное соударение оголовка с преградой. При достижении в оболочке напряжений выше предела текучести ($\bar{t} = 2$) вблизи краев образуются две осесимметричные складки. В дальнейшем наблюдается преобладающее развитие складки, расположенной в зоне крепления оболочки к оголовку. Продольные сжимающие усилия на стадии выпучивания распределяются вдоль оболочки почти равномерно, причём процесс сжатия не носит волнового характера, так как амплитуда продольных волн ограничена пределом текучести, а упрочнение материала невелико. Процесс соударения заканчивается при $\bar{t} = 20$. Сопоставление с расчетом без учета присоединенной массы на ударяемом торце [12] показывает, что наличие затупленного оголовка влияет только на начальную стадию процесса деформирования и мало влияет на форму выпучивания и остаточные прогибы оболочки.

Как видно из графиков на фиг. 4, 5 по всем сопоставляемым параметрам (перемещение тыльной части оболочки, расположение и форма гофров, скорость отскока) наблюдается хорошее соответствие расчетных и экспериментальных данных: их расхождение не превышает 10%. Время решения задачи на ПЭВМ РС АТ/386 составило порядка 4 часов.

Приведенные здесь результаты, а также расчеты, представленные в [6, 9], свидетельствуют о том, что данная методика позволяет достаточно эффективно решать нелинейные задачи динамики при немалых формоизменениях и смещениях упругопластических составных конструкций.

СПИСОК ЛИТЕРАТУРЫ

1. Уилкинс М., Френч С., Сорен М. Конечно-разностная схема для решения задач, зависящих от трех пространственных координат и времени//Численные методы в механике жидкостей. М.: Мир, 1973. С. 115—119.
2. Johnson G. R. Colby D. D., Vavrick D. J. Three-dimensional computer code for dynamic response of solids to intense impulsive loads//Int. J. Num. Meth. Eng. 1979. V. 14. No. 12. P. 1865—1871.
3. Flanagan D. P., Belytschko T. An uniform strain hexahedron and quadrilateral with orthogonal hourglass control//Int. J. Num. Meth. Eng. 1981. V. 17. No. 5. P. 679—706.
4. Баженов В. Г., Зефирова С. В., Кибец А. И. О численной реализации вариационно-разностной моментной схемы решения нелинейных задач динамики нетонких оболочек при импульсных воздействиях//Прикл. пробл. прочности и пластичности. 1988. Вып. 41. С. 66—73.
5. Зенкевич О. К. Метод конечных элементов в технике. М.: Мир, 1975. 541 с.
6. Баженов В. Г., Кибец А. И., Тулинцев О. В. Применение моментной схемы МКЭ для анализа нелинейных трехмерных задач динамики массивных и оболочечных элементов конструкций//Прикл. пробл. прочности и пластичности. 1991. Вып. 47. С. 46—53.
7. Баженов В. Г., Шинкаренко А. П. Вариационно-разностный метод решения трехмерных задач динамики упругопластических оболочек//Прикл. пробл. прочности и пластичности. 1976. Вып. 3. С. 61—69.
8. Вольмир А. С. Нелинейная динамика пластин и оболочек. М.: Наука, 1972. 432 с.
9. Применение моментной схемы МКЭ для решения нестационарных задач упругопластического деформирования составных конструкций/В. Г. Баженов и др.//В сб. Численные методы решения

- задач теории упругости и пластичности. Материалы XII Всесоюз. конф. Новосибирск: 1992. С. 25—31.
10. Баженов В. Г., Чекмарев Д. Т. Вариационно-разностные схемы в нестационарных волновых задачах динамики пластин и оболочек.— Н. Новгород: Изд-во Нижегородского ун-та, 1992. 159 с.
 11. Баженов В. Г., Зефилов С. В., Кочетков А. В. Численное исследование нестационарной дифракции упругой волны на цилиндрической оболочке//Прикл. пробл. прочности и пластичности. 1991. Вып. 48. С. 71—78.
 12. Численный анализ осесимметричного упругопластического выпучивания оболочек вращения с присоединенными жесткими и деформируемыми массами при ударе о жесткую преграду/В. Г. Баженов, Г. В. Бригадиров и др.//Прикл. пробл. прочности и пластичности. 1990. Вып. 46. С. 41—47.

Нижний Новгород

Поступила в редакцию
12.X.1993